

(株)熊谷組 技術研究所 大塚 本天

同上

上野 正高

同上

○石垣 和男

1. まえがき

従来、支保工の設計にはアロフター&ホワイトの手法が、またライニングの設計では、電算を用いてライニングを骨組構造物と考えて解析が行なわれてきた。支保工の設計にアロフター&ホワイトの手法が現在も用いられている理由は、計算値と実験値が良く合っていること、また数値計算ではモデル化が充分に成し得ないためであった。一方、ライニングの設計においては、地山の評価が充分に行なえず、今までには、各節点に集中結合するバネで評価したり、変形に比例する分布反力を考えるウィンクラーの仮定など用いられてきた。しかし、これらの数値計算の結果では、ライニングを連続体として解析したとき、インパート付きのものガインパートなしのものより、内力(断面力)が大きくなるという現象と、反する結果が得られる。そこで、本報告は、電算を用いて支保工解析するためのモデル化と、地山とライニングを一体に考えたライニングの設計法について提案をするものである。

2. 支保工のモデル化と数値計算結果

トンネル掘削後、支保工建設の際、支保工と地山の間にドロッキングが生じ込まれ、このドロッキングを通して地圧が支保工に伝達される。この支保工の設計法としてのアロフター&ホワイトの方法は、ゆるみ高さを仮定してこの土荷重を主働土圧とし、支保工の構造を地山と支保工がドロッキングによてヒンジ結合されに静定構造として、構造の安全を保つために力の作用線がこび点を通るように受働土圧が発生すると仮定して考え方である。(Fig-1 参照) したがってモデル化にあたっては、支保工、ドロッキング、地山の結合条件としては、ピン結合が満足されなければならない。すなはち地山からの荷重の伝達、支保の変形によるもたらされる地山の反力は、すべてドロッキングによつてのみ伝達される。これらのこと考慮してFig-2に示したようなモデルを考えた。計算手法としては、モデルに荷重と作用させ、ドロッキング部材が引張の場合は(モデルの破線部分)には、主働土圧の作用点としてドロッキング部材及び支点が取りのぞかれる。ドロッキング部材が圧縮の場合には、受働土圧点として、支保とドロッキングが拘束していることになる。ドロッキングに作用する荷重は、あくまでモーメントであることから、荷重の作用方向は、支保の半径方向のみである。拘束反力についても同様である。以上のことを踏んで、試算してみると、ドロッキング部材を考える範囲はFig-2のよう、スプリングラインより反時計方向に45°前後の範囲で充分であることが認められた。アロフター&ホワイトの手法との比較の意味で、同一条件で数値解析を行つた時の結果をFig-3に示す。実線で結んだものがアロフター&ホワイトの手法で得られたものであり、各ポイントが数値計算の結果である。これによると、きわめて結果が一致しておりモデル化が充分満足のいくものであることが分かる。尚、地山の支点として表現されており、地山自体の性質は何ら加味されていない。

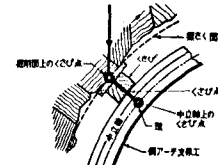


Fig-1 地山と支保工との力の伝達

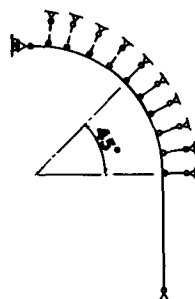


Fig-2 支保工モデル

3. ライニングのモデル化と数値計算結果

従来のライニング及び吹付けコンクリートの設計には、部材の変形に対して地山の拘束力がバネとして反力をもたらすものとして行なわれている。この時、バネの意味を考えるとバネは、軸方向の反力に対して作用するが、曲げやせん断に対しては全く作用していないことから支保と地山はスリップ状態となる。しかし実際の地山とライニングの間に、せん断の摩擦やせん断が期待でき単純バネだけでは評価が不充分と思われる。したがってこれらの条件を満足するモデルとしてFig.-4のようなものを考えた。①はライニング部材、②は地山とライニングの結合部材（この部材を通じて荷重が伝達）、③は地山部材（ここに荷重を作用させる）である。この時、結合部材の長さL、次式より決定される。

$$S_1 = P/K \quad (\text{ばねの時}) \quad S_2 = PL/AE \quad (\text{結合部材の時})$$

S_1, S_2 ：沈下量、 P ：荷重(kN/cm^2)、 P' ：結合部材に作用する力(kN)、 A ：部材の面積、 L ：部材長、 E ：部材の弾性係数、 K ：地盤反力係数

$$S_1 = S_2, P = P'/A \quad \therefore \quad E = KL$$

従来のバネの評価とFig.-4のモデルについて、同一条件でインバート付きなしの2つについて解析して結果をFig.-5, 6に示す。また最大モーメントについて比較したものをTable-1に示す。これによると、地山の評価としてバネを用いたものは、部材長が長くなるほどインバート付きが、ないものよりも不利となると言、逆現象と相反する結果が得られる。これに対し、Fig.-4のモデルのものは、逆の結果となり現象の現象に合致している。また②の結合部材の剛性を考慮することにより、かなり複雑な支保と地山の挙動についても調べられより現象の地山とライニングの相互作用について調べられると思われる。この点に着目してスプリングラインの上下で地山の剛性を変化させ、変化させないものと比較したものがFig.-7である。これによると地山の地層の相違や、異方性にも充分対処しえることが分かる。結果は、定性的には現象と合致したものであるが、定量的には正しい評価が成されているかどうか不明であり、今後計測等を通じて、モデル化の正しい評価を行っていく必要があると思われる。

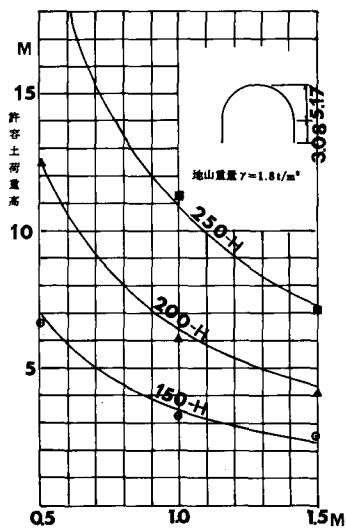


Fig-3 ブロクター・アンド・ホワイトの計算値とモデルとの比較

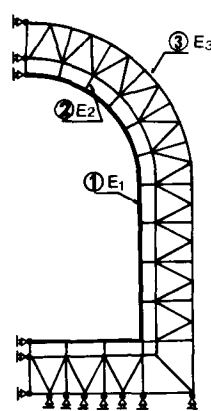


Fig-4
ライニングモデル

Max Moment
Table-1

種類	インバートなし	インバート付
従来モデル	19.2	21.3
新モデル	13.9	11.8

参考文献

- アーチトンネルの設計施工；宮下和夫著(山海堂)
- トンネル力学；橋本武氏(共立出版)
- トンネル工学；大塚本夫著(朝倉書店)

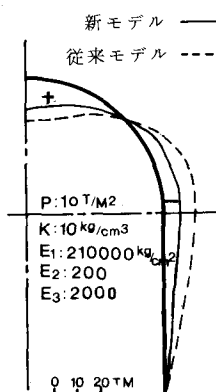


Fig-5 曲げモーメント図

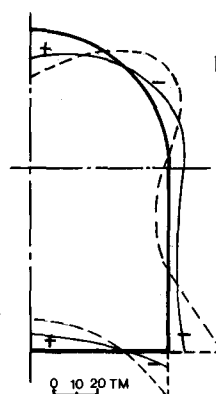


Fig-6 曲げモーメント図

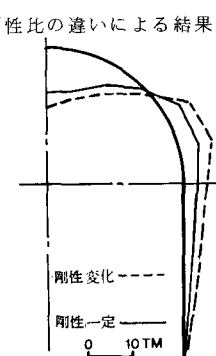


Fig-7 曲げモーメント図